

# МАТЕМАТИКА MATHEMATICS

Научная статья

УДК 517.925

ББК 22.161.6

Р 65

DOI: 10.53598/2410-3225-2024-1-336-11-19

## О бифуркациях сепаратрисных контуров динамических систем с инволютивной симметрией (Рецензирована)

Владимир Шлеймович Ройтенберг

Ярославский государственный технический университет,  
Ярославль, Россия, vroitenberg@mail.ru

**Аннотация.** Рассматривается двухпараметрическое семейство гладких векторных полей на плоскости, инвариантных относительно инволюции  $I$ . Предполагается, что инволюция имеет единственную неподвижную точку  $O$ , причем для векторных полей семейства точка  $O$  является гиперболическим седлом с ненулевой седловой величиной, сепаратрисы которого при нулевых значениях параметров идут в два симметричных относительно  $I$  седло-узла, образуя полицикл, гомеоморфный «восьмерке». Для типичных семейств в случаях положительной и отрицательной седловой величины получены бифуркационные диаграммы – разбиение окрестности нуля на плоскости параметров на классы топологической эквивалентности векторных полей в окрестности полицикла.

**Ключевые слова:** гладкое векторное поле на плоскости, седло, седло-узел, петля сепаратрисы, бифуркация, замкнутая траектория

**Для цитирования:** Ройтенберг В. Ш. О бифуркациях сепаратрисных контуров динамических систем с инволютивной симметрией // Вестник Адыгейского государственного университета. Сер. : Естественно-математические и технические науки. 2024. Вып. 1 (336). С. 11–19. DOI: 10.53598/2410-3225-2024-1-336-11-19

Original Research Paper

## On bifurcations of separatrix contours of dynamical systems with involutive symmetry

Vladimir Sh. Roytenberg

Yaroslavl State Technical University, Yaroslavl, Russia, vroitenberg@mail.ru

**Abstract.** A two-parameter family of smooth vector fields on the plane that are invariant under the involution  $I$  is considered. It is assumed that the involution has a single fixed point  $O$  and for the family of vector fields the point  $O$  is a hyperbolic saddle with nonzero saddle value, the separatrices of which, for zero parameter values, go to two saddle-nodes symmetric with respect to  $I$ , forming a polycycle homeomorphic to the figure eight. For generic families in the cases of positive and negative saddle values, bifurcation diagrams are obtained, that is, it is fulfilled a partition of a neighborhood of zero on the parameter plane into classes of topological equivalence of vector fields in a neighborhood of a polycycle.

**Keywords:** planar vector field, saddle, saddle-node, separatrix loop, bifurcation, closed trajectory

**For citation:** Roytenberg V. Sh. On bifurcations of separatrix contours of dynamical systems with involutive symmetry // The Bulletin of the Adyghe State University. Ser. : Natural-Mathematical and Technical Sciences. 2024. Iss. 1 (336). P. 11–19. DOI: 10.53598/2410-3225-2024-1-336-11-19

Бифуркации положений равновесия и периодических траекторий гладких динамических систем с симметрией как двумерных, так и многомерных изучаются уже довольно долго (см., например, [1–5]). Некоторые бифуркации сепаратрисных контуров двумерных систем с симметрией рассмотрены в работах [6–9]. Особый интерес представляет описание бифуркации контуров, являющихся аттракторами. Одна из таких бифуркаций рассмотрена в настоящей работе.

Пусть  $C^\infty$  – диффеоморфизм  $I: M \rightarrow M$  открытого подмножества  $M$  плоскости  $\mathbf{R}^2$  является инволюцией, то есть  $I^2 = I \circ I = \text{id}_M$  – тождественное отображение. Будем предполагать, что инволюция  $I$  имеет единственную неподвижную точку  $O$ . Основным примером такой инволюции – центральная симметрия  $\mathbf{R}^2 \ni z \mapsto -z \in \mathbf{R}^2$ .

Рассмотрим семейство векторных полей  $X_\varepsilon(z) = P_1(z, \varepsilon)\partial/\partial z_1 + P_2(z, \varepsilon)\partial/\partial z_2$ , где  $P_1$  и  $P_2$   $C^r$ -гладкие функции ( $r \geq 3$ ) точки  $z = (z_1, z_2) \in M$  и двумерного параметра  $\varepsilon$ , меняющегося в окрестности  $E^0$  нуля в  $\mathbf{R}^2$ , инвариантных относительно инволюции  $I$ , то есть таких, что  $dI(X_\varepsilon(z)) \equiv X_\varepsilon(I(z))$ .

Предположим, что векторное поле  $X_0$  удовлетворяет следующим условиям.

**Условие 1.** Точка  $O$  – седло с собственными значениями матрицы линейной части поля в этой точке  $\lambda_1^0 > 0$  и  $\lambda_2^0 < 0$ . Две симметричные точки  $O_0^+$  и  $O_0^- = I(O_0^+)$  – седло-узлы с собственными значениями матрицы линейной части поля в этой точке  $\lambda_1^+ = 0$  и  $\lambda_2^+ < 0$ .

**Условие 2.** Выходящая сепаратриса  $L_{0+}^{\text{out}}$  (соотв.  $L_{0-}^{\text{out}}$ ) седла  $O$   $\omega$ -предельна к седло-узлу  $O_0^+$  (соотв.  $O_0^-$ ), но не является его входящей сепаратрисой. Выходящая сепаратриса седло-узла  $O_0^+$  (соотв.  $O_0^-$ ) совпадает с входящей сепаратрисой  $L_{0+}^{\text{in}}$  (соотв.  $L_{0-}^{\text{in}}$ ) седла  $O$ .

Пусть  $\Gamma^\pm := L_{0\pm}^{\text{out}} \cup L_{0\pm}^{\text{in}} \cup \{O, O_0^\pm\}$ . Ясно, что  $\Gamma^- = I(\Gamma^+)$ , а полицикл  $\Gamma := \Gamma^+ \cup \Gamma^-$  гомеоморфен «восьмерке» (рис. 1).

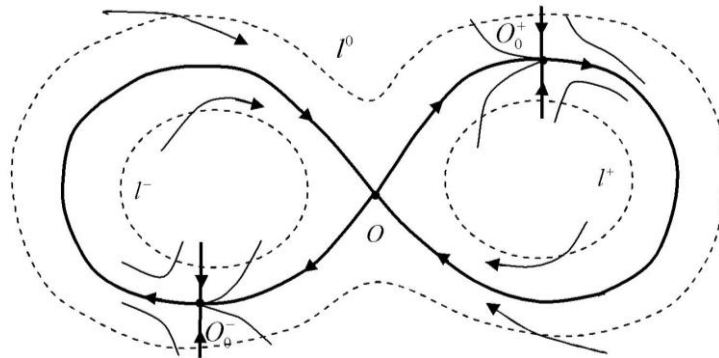


Рис. 1. Полицикл и его поглощающая окрестность  
 Fig. 1. The polycycle and its absorbing neighborhood

По теореме о центральном многообразии [10] для  $\varepsilon$ , принадлежащих некоторой окрестности  $E^1 \subset E^0$  нуля, в окрестности точки  $O_0^+$ , не содержащей точки  $O$ , существует замена координат  $z = \zeta(x, y, \varepsilon)$ ,  $(x, y) \in \mathbf{R}^2$ ,  $\zeta \in C^{r-1}$ ,  $k = 1, 2$ , такая, что в координатах  $(x, y)$

$$X_\varepsilon(z) = P(x, \varepsilon)\partial/\partial x + Q(x, y, \varepsilon)\partial/\partial y,$$

где

$$P(x, \varepsilon) = P(0, \varepsilon) + (a + r_1(x, \varepsilon))x^2, \quad Q(x, y, \varepsilon) = (\lambda_0^+ + r_2(x, y, \varepsilon))y, \quad (1)$$

$$P(0, 0) = 0, \quad a > 0, \quad r_1 \in C^1, \quad r_1(0, 0) = 0, \quad r_2 \in C^1, \quad r_2(0, 0, 0) = 0.$$

Выбрав достаточно малые число  $c > 0$  и окрестность нуля  $E^2 \subset E^1$ , будем иметь

$$a + r_1(x, \varepsilon) > 0, \quad \lambda_0^+ + r_2(x, y, \varepsilon) < 0, \quad \text{если } (x, y) \in (-2c, 2c)^2, \quad \varepsilon \in E^2. \quad (2)$$

Пусть  $\tau_\varepsilon^\pm : (-c, c) \rightarrow M$  – отображения, задаваемые равенствами  $\tau_\varepsilon^\pm(u) := \zeta(-c, u, \varepsilon)$ . Без ограничения общности можно считать, что дуга  $\tau_0^\pm(-c, 0)$  принадлежит полуокрестности петли  $\Gamma^+$ , не содержащей сепаратрис седла  $O$ , не входящих в  $\Gamma^+$ . Седло-узел  $O_0^+$  поля  $X_0$  имеет координаты  $x = y = 0$ , а его выходящая сепаратриса задается условиями  $y = 0, x > 0$ . Поэтому сепаратриса  $L_{0+}^{\text{in}}$  трансверсально пересекает дугу  $\tau_0^+(-c, c)$  в точке с параметром  $y = 0$ . Входящие сепаратрисы седло-узла  $O_0^+$  в координатах  $(x, y)$  задаются условиями  $x = 0, y > 0$  и  $x = 0, y < 0$ . Поскольку сепаратриса  $L_{0+}^{\text{out}}$  с ними не совпадает, то она входит в  $O_0^+$  по направлению  $y = 0$ . Тогда  $c$  можно считать выбранным так, что  $L_{0+}^{\text{out}}$  пересекает дугу  $\tau_0^-(-c, c)$ .

Мы можем считать, что окрестность  $E^2$  выбрана так, что для любого  $\varepsilon \in E^2$  в точке  $O$  будет седло поля  $X_\varepsilon$  с собственными значениями матрицы линейной части поля  $\lambda_1(\varepsilon) > 0, \lambda_2(\varepsilon) < 0, \lambda_1(\cdot), \lambda_2(\cdot) \in C^{r-1}$  и инвариантными многообразиями,  $C^{r-1}$ -гладко зависящими от  $\varepsilon$  [10]. Если окрестность  $E^2$  достаточно мала, то седло  $O$  имеет выходящую (входящую) сепаратрису  $L_{\varepsilon+}^{\text{out}}$  (соотв.  $L_{\varepsilon+}^{\text{in}}$ ), пересекающую дугу  $\tau_\varepsilon^-(-c, c)$  (соотв.  $\tau_\varepsilon^+(-c, c)$ ) в точке с параметром  $y = \hat{y}_-(\varepsilon)$  (соотв.  $y = \hat{y}_+(\varepsilon)$ ), где  $\hat{y}_\pm(\cdot) \in C^{r-1}, \hat{y}_\pm(0) = 0$ . Вследствие симметрии  $L_{\varepsilon-}^{\text{out}} := I(L_{\varepsilon+}^{\text{out}})$  и  $L_{\varepsilon-}^{\text{in}} := I(L_{\varepsilon+}^{\text{in}})$  также соответственно выходящая и входящая сепаратрисы седла  $O$ .

Теперь мы можем сформулировать

**Условие 3.** Производные  $\partial P(0, 0)/\partial \varepsilon$  и  $\partial \hat{y}_+(0)/\partial \varepsilon$  линейно независимы.

Это условие не зависит от произвола в выборе координат  $(x, y)$  и числа  $c$ .

При выполнении условия 3 мы можем выбрать в некоторой окрестности нуля  $E^* \subset E^2$   $C^{r-1}$ -координаты  $\varepsilon_1, \varepsilon_2$  так, что для любого  $\varepsilon \in E^*$

$$P(0, \varepsilon) = \varepsilon_1, \quad \hat{y}_+(\varepsilon) = \varepsilon_2. \quad (3)$$

Далее будем считать, что  $E^* = (-\delta^*, \delta^*)^2$  и  $\varepsilon \equiv (\varepsilon_1, \varepsilon_2)$ , если  $\varepsilon \in E^*$ .

**Теорема.** Пусть семейство векторных полей  $\{X_\varepsilon\}, \varepsilon \in E^0$ , удовлетворяет условиям 1–3, а седловая величина  $\sigma_0 := \lambda_1^0 + \lambda_2^0 \neq 0$ . Тогда существуют окрестность  $U$  полицикла  $\Gamma$ , граница  $\partial U$  которой состоит из простых замкнутых кривых  $l^+, l^-$  и  $l^0$  (рис. 1), для которых  $l^- = I(l^+), l^0 = I(l^0)$ , и окрестность  $E := (-\delta, \delta)^2 \subset E^*$  нуля на плоскости параметров со следующими свойствами:

В точках  $\partial U$  траектории полей  $X_\varepsilon, \varepsilon \in E$  входят в  $U$ .

В случае  $\sigma_0 > 0$  бифуркационная диаграмма семейства  $\{X_\varepsilon|_U\}, \varepsilon \in E$ , представляет собой разбиение области параметров  $E$  на множества (рис. 2)  $\{(0, 0)\}, B_j, E_j, j = 1, 2, \dots, 6$ , где  $B_i = \{\varepsilon : \varepsilon_2 = b_i(\varepsilon_1)\}, b_i \in C^1(0, \delta), (-\delta, \delta), b_i(+0) = b_i'(+0) = 0$ ,

$i = 1, 2, 3$ ,  $B_4 = \{0\} \times (0, \delta)$ ,  $B_5 = (-\delta, 0) \times \{0\}$ ,  $B_6 = \{0\} \times (-\delta, 0)$ ,  $E_j$  – связная компонента  $E \setminus \bigcup_{j=0}^6 B_j$ , в границу которой входят  $B_j$  и  $B_{j+1}$  (здесь  $B_7 := B_1$ ).

В случае  $\sigma_0 < 0$  бифуркационная диаграмма семейства  $\{X_\varepsilon|_U\}$ ,  $\varepsilon \in E$ , представляет собой разбиение области параметров  $E$  на множества (рис. 3)  $\{(0, 0)\}$ ,  $B_j$ ,  $E_j$ ,  $j = 1, 2, 3, 4$ , где  $B_1 = \{\varepsilon : \varepsilon_2 = b(\varepsilon_1)\}$ ,  $b \in C^1(0, \delta), (-\delta, \delta)$ ,  $b(+0) = b'(+0) = 0$ ,  $B_2 = \{0\} \times (0, \delta)$ ,  $B_3 = (-\delta, 0) \times \{0\}$ ,  $B_4 = \{0\} \times (-\delta, 0)$ ,  $E_j$  – связная компонента  $(-\delta, \delta)^2 \setminus \bigcup_{j=0}^4 B_j$ , в границу которой входят  $B_j$  и  $B_{j+1}$  (здесь  $B_5 := B_1$ ).

В обоих случаях векторные поля  $X_\varepsilon$ ,  $\varepsilon \in E_j$ , грубые в  $U$ , векторные поля  $X_\varepsilon$ ,  $\varepsilon \in B_j$ , первой степени негрубости в  $U$ , а схемы фазовых портретов векторных полей  $X_\varepsilon$ ,  $\varepsilon \in (-\delta, \delta)^2$ , имеют вид, изображенный на рисунке 4 в случае  $\sigma_0 < 0$  и на рисунке 5 в случае  $\sigma_0 > 0$ .

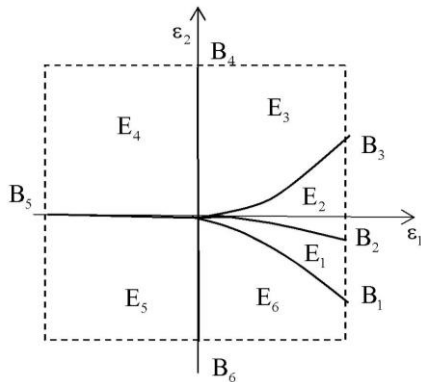


Рис. 2. Бифуркационная диаграмма в случае  $\sigma_0 > 0$

Fig. 2. Bifurcation diagram in the case  $\sigma_0 > 0$

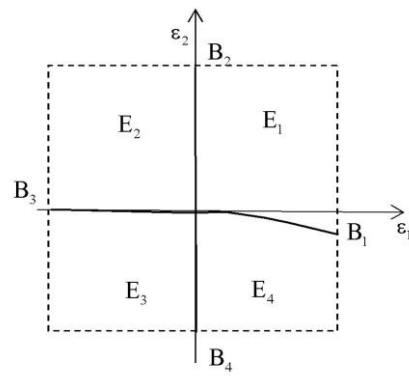


Рис. 3. Бифуркационная диаграмма в случае  $\sigma_0 < 0$

Fig. 3. Bifurcation diagram in the case  $\sigma_0 < 0$

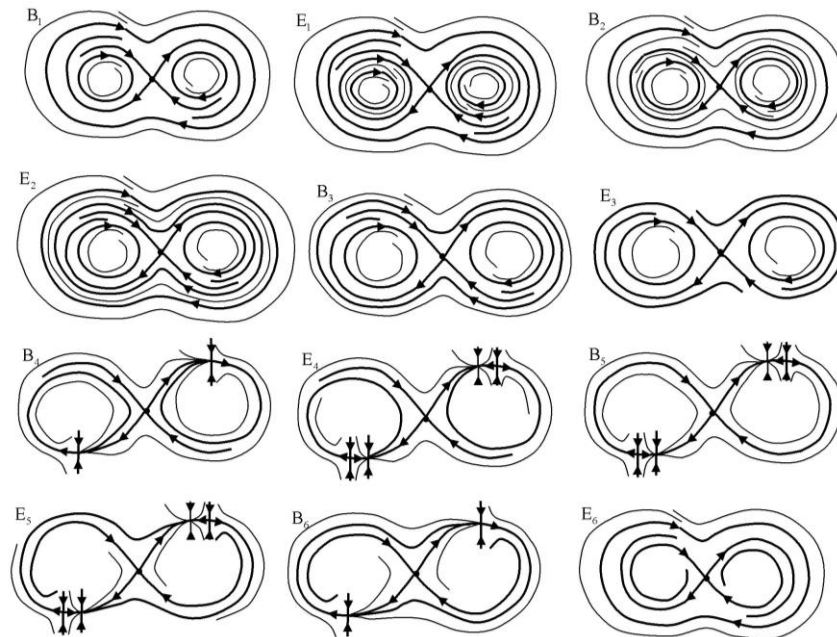


Рис. 4. Бифуркации фазовых портретов в случае  $\sigma_0 > 0$

Fig. 4. Bifurcations of phase portraits in the case  $\sigma_0 > 0$

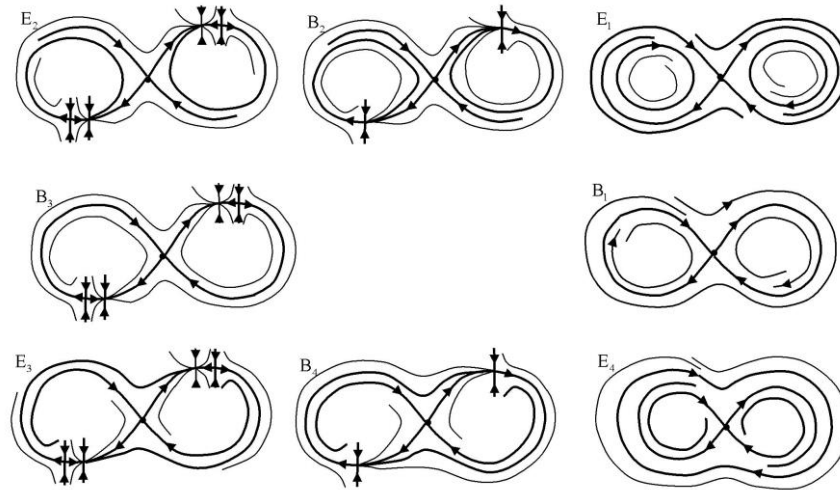


Рис. 5. Бифуркации фазовых портретов в случае  $\sigma_0 < 0$

Fig. 5. Bifurcations of phase portraits in the case  $\sigma_0 < 0$

**Доказательство.** Ограничимся рассмотрением более сложного случая  $\sigma_0 > 0$ . Из [11, п. 13.8], (3) и равенства  $\lambda_1(0) + \lambda_2(0) = \sigma_0$  следует, что при достаточно малых  $u_1 \in (0, c)$  и  $\delta_1 \in (0, \delta^*)$  определено отображение  $I(\tau_\varepsilon^-(\hat{y}_-(\varepsilon) + u)) \mapsto \tau_\varepsilon^+(\psi(u, \varepsilon))$ ,  $u \in (0, u_1)$  по траекториям поля  $-X_\varepsilon$ ,  $\varepsilon \in (-\delta_1, \delta_1)^2$ , где

$$\psi(u, \varepsilon) = \varepsilon_2 + l(\varepsilon)u^{\gamma(\varepsilon)} + q(u, \varepsilon), \quad \gamma(\varepsilon) = -\lambda_1(\varepsilon)/\lambda_2(\varepsilon) \geq \gamma_0 > 1, \quad l(\cdot) \in C^1, \quad l(\varepsilon) \geq l_0 > 0, \quad (4)$$

$$|\partial^i q(u, \varepsilon)/\partial u^i| \leq u^{\gamma(\varepsilon)-i+\alpha}, \quad |\partial q(u, \varepsilon)/\partial \varepsilon_j| \leq u^{\gamma(\varepsilon)+\alpha} \quad \text{при } 0 < \alpha < 1, \quad i = 0, 1, 2, \quad j = 1, 2. \quad (5)$$

Из (1)–(3) следует, что в области  $(-2c, 2c)^2$  при  $\varepsilon \in (0, \delta^*) \times (-\delta^*, \delta^*)$  определено уравнение

$$\frac{dy}{dx} = \frac{Q(x, y, \varepsilon)}{P(x, \varepsilon)},$$

а его решение  $y = Y(x, u, \varepsilon)$ , удовлетворяющее начальному условию  $Y(-c, u, \varepsilon) = u$ , определено на интервале  $(-2c, 2c)$ . Функция  $\varphi(u, \varepsilon) = Y(c, u, \varepsilon)$  задает отображение  $\tau_\varepsilon^-(u) \mapsto \tau_\varepsilon^+(\varphi(u, \varepsilon))$  дуги  $\tau_\varepsilon^-(c, c)$  в дугу  $\tau_\varepsilon^+(c, c)$  по траекториям поля  $X_\varepsilon$ ,  $\varepsilon \in (0, \delta^*) \times (-\delta^*, \delta^*)$ , при этом

$$\varphi(0, \varepsilon) \equiv 0. \quad (6)$$

Выберем числа  $k_L, k_R$ , удовлетворяющие неравенствам

$$0 < k_L < -\pi\lambda_+^0/\sqrt{a} < k_R, \quad k_R(\gamma(0) - 2) < k_L(\gamma(0) - 1). \quad (7)$$

**Лемма 1** [12]. *Существуют такие числа  $\delta_2 \in (0, \delta_1)$ ,  $k > 0$ ,  $k_-, k_+$ ,  $k_L < k_- < k_+ < k_R$ , что для любых  $u \in (-c, c)$  и  $\varepsilon \in (0, \delta_2) \times (-\delta_2, \delta_2)$*

$$\exp(-k_+/\sqrt{\varepsilon_1}) \leq \varphi'_u(u, \varepsilon) \leq \exp(-k_-/\sqrt{\varepsilon_1}), \quad (8)$$

$$|\varphi''_{uu}(u, \varepsilon)| \leq \exp(-k_-/\sqrt{\varepsilon_1}), \quad (9)$$

$$|\varphi'_{\varepsilon_i}(u, \varepsilon)| \leq \exp(-k/\sqrt{\varepsilon_1}), \quad i = 1, 2. \quad (10)$$

Ввиду (6), (8) и (10) функцию  $\varphi$  можно продолжить до  $C^1$ -функции  $\bar{\varphi}$  на  $(-c, c) \times (-\delta_2, \delta_2)^2$ , положив  $\bar{\varphi}(u, \varepsilon) = 0$  при  $u \in (-c, c)$ ,  $\varepsilon \in (-\delta_2, 0] \times (-\delta_2, \delta_2)$ . Пусть

$F(\varepsilon) := \varepsilon_2 - \bar{\varphi}(\hat{y}_-(\varepsilon), \varepsilon)$ . Так как  $F'_{\varepsilon_2}(\varepsilon) = 1$ ,  $F'_{\varepsilon_1}(\varepsilon) = 0$ , то найдется такое  $\delta_3 \in (0, \delta_2]$ , что для любого  $\varepsilon_1 \in (-\delta_3, \delta_3)$  уравнение  $F(\varepsilon_1, \varepsilon_2) = 0$  имеет в интервале  $(-\delta_3, \delta_3)$  единственное решение  $\varepsilon_2 = b_2(\varepsilon_1)$ , где  $b_2(\cdot) \in C^1$ ,  $b_2(0) = 0$ ,  $b'_2(0) = 0$ . При  $\varepsilon \in (-\delta_3, \delta_3)^2$  сепаратриса  $L_{\varepsilon_+}^{\text{out}}$  совпадает с сепаратрисой  $L_{\varepsilon_+}^{\text{in}}$  тогда и только тогда, когда  $\varepsilon_2 - \varphi(\hat{y}_-(\varepsilon), \varepsilon) = 0$ , то есть, если  $\varepsilon_2 = b_2(\varepsilon_1)$ ,  $\varepsilon_1 \in (0, \delta_3)$ .

Пусть  $u_2$  – наименьшее из чисел  $u_1$  и  $c - \max_{\varepsilon \in [-\delta_2, \delta_2]^2} \hat{y}_-(\varepsilon)$ . Функция  $d(u, \varepsilon) := \psi(u, \varepsilon) - \varphi(\hat{y}_-(\varepsilon) + u, \varepsilon)$  определена для всех  $u \in (0, u_2)$ ,  $\varepsilon \in (0, \delta_3) \times (-\delta_3, \delta_3)$ .

Обозначим  $\psi^{-1}(\cdot, \varepsilon)$  функцию, обратную к функции  $\psi(\cdot, \varepsilon)$ . Функция  $f(u, \varepsilon) := \psi^{-1}(\varphi(\hat{y}_-(\varepsilon) + u, \varepsilon), \varepsilon)$ ,  $u \in (0, u_2)$ ,  $\varepsilon \in (0, \delta_3) \times (-\delta_3, \delta_3)$ , задает отображение соответствия  $\tau_{\varepsilon}^{-}(\hat{y}_-(\varepsilon) + u) \mapsto I(\tau_{\varepsilon}^{-}(f(u, \varepsilon)))$  по траекториям поля  $X_{\varepsilon}$ ,  $\varepsilon \in (0, \delta_3) \times (-\delta_3, \delta_3)$ . Функция  $\Pi(\cdot, \varepsilon) := f(f(\cdot, \varepsilon), \varepsilon)$  – функция последования по траекториям поля  $X_{\varepsilon}$ . Для нее  $\Pi'_u(u, \varepsilon) > 0$ . Нетрудно проверить, что справедливы следующие утверждения:

$$\Pi(u_*, \varepsilon) = u_* \Leftrightarrow f(u_*, \varepsilon) = u_* \Leftrightarrow d(u_*, \varepsilon) = 0; \quad (11)$$

$$\Pi(u_*, \varepsilon) = u_*, \quad \Pi'_u(u_*, \varepsilon) < 1 (> 1) \Leftrightarrow d(u_*, \varepsilon) = 0, \quad d'(u_*, \varepsilon) > 0 (< 0); \quad (12)$$

$$\Pi(u_*, \varepsilon) = u_*, \quad \Pi'_u(u_*, \varepsilon) = 1, \quad \Pi''_{uu}(u_*, \varepsilon) \neq 0 \Leftrightarrow d(u_*, \varepsilon) = d'_u(u_*, \varepsilon) = 0, \quad d''_{uu}(u_*, \varepsilon) \neq 0. \quad (13)$$

Ввиду (4), (5), (8) и (10) существуют такие  $\bar{u} \in (0, u_2)$  и  $\delta_4 \in (0, \delta_3]$ , что

$$d'_{\varepsilon_2}(u, \varepsilon) > 0 \text{ при всех } u \in (0, \bar{u}], \quad \varepsilon \in (0, \delta_4) \times (-\delta_4, \delta_4). \quad (14)$$

Пусть  $\bar{u} \in (0, \bar{u})$ . Вследствие (4), (5), (6) и (8) найдется такое  $\delta_5 \in (0, \delta_4]$ , что

$$d(u, \varepsilon) > 0 \text{ при всех } u \in [\bar{u}, \bar{u}], \quad \varepsilon \in (0, \delta_5) \times (-\delta_5, \delta_5). \quad (15)$$

Обозначим

$$u_L(\varepsilon) := \exp\left(-\frac{k_R}{(\gamma(\varepsilon)-1)\sqrt{\varepsilon_1}}\right), \quad u_R(\varepsilon) := \exp\left(-\frac{k_L}{(\gamma(\varepsilon)-1)\sqrt{\varepsilon_1}}\right). \quad (16)$$

Можно считать, что  $\delta_5$  выбрано столь малым, что при всех  $\varepsilon \in (0, \delta_5) \times (-\delta_5, \delta_5)$   $u_R(\varepsilon) < \bar{u}$ .

Из (4)–(10) и (16) следует

**Лемма 2.** Число  $\delta \in (0, \delta_5]$  можно выбрать так, что для любого  $\varepsilon \in (0, \delta) \times (-\delta, \delta)$

$$d'_u(u, \varepsilon) < 0, \text{ если } u \in (0, u_L(\varepsilon)], \quad (17)$$

$$d'_u(u, \varepsilon) > 0 \text{ если } u \in [u_R(\varepsilon), \bar{u}], \quad (18)$$

$$d''_{uu}(u, \varepsilon) > 0 \text{ если } u \in [u_L(\varepsilon), u_R(\varepsilon)], \quad (19)$$

$$d'_{\varepsilon_2}(u, \varepsilon) \geq 1/2 \text{ если } u \in (0, u_R(\varepsilon)]. \quad (20)$$

Из (17)–(19) получаем, что для любого  $\varepsilon \in (0, \delta) \times (-\delta, \delta)$  функция  $d(\cdot, \varepsilon)$  имеет точку минимума  $u_0(\varepsilon) \in (u_L(\varepsilon), u_R(\varepsilon))$ , где  $u_0(\cdot) \in C^1$ , и

$$\text{sgn } d'_u(u, \varepsilon) = \text{sgn}(u - u_0(\varepsilon)). \quad (21)$$

Из (20) и (21) следует, что

$$\frac{\partial}{\partial \varepsilon_2} d(u_0(\varepsilon), \varepsilon) = d'_{\varepsilon_2}(u, \varepsilon) \Big|_{u=u_0(\varepsilon)} \geq \frac{1}{2} \text{ для всех } \varepsilon \in (0, \delta) \times (-\delta, \delta). \quad (22)$$

Из (16), (4)–(6) и (8), считая  $\delta$  выбранным достаточно малым, получаем, что

$$d(u_0(\varepsilon), \varepsilon) \Big|_{\varepsilon_2=\varepsilon_1} > 0 \text{ для всех } \varepsilon \in (0, \delta) \times (-\delta, \delta). \quad (23)$$

Так как  $d(+0, \varepsilon) = \varepsilon_2 - \varphi(\hat{y}_-(\varepsilon), \varepsilon)$ , то ввиду (8) и (10) можно считать  $\delta$  столь малым, что  $d'_{\varepsilon_2}(+0, \varepsilon) > 0$ . Поэтому

$$\text{sgn } d(+0, \varepsilon) = \text{sgn}(\varepsilon_2 - b_2(\varepsilon_1)) \text{ для всех } \varepsilon \in (0, \delta) \times (-\delta, \delta). \quad (24)$$

Вследствие (24) и (17)  $d(u_0(\varepsilon), \varepsilon) \Big|_{\varepsilon_2=b_2(\varepsilon_1)} < 0$ . Отсюда и из (22) и (23), используя теорему о промежуточных значениях непрерывной функции и теорему о неявной функции, получаем, что  $\forall \varepsilon_1 \in (0, \delta) \exists b_3(\varepsilon_1) \in (b_2(\varepsilon_1), \varepsilon_1)$

$$\text{sgn } d(u_0(\varepsilon), \varepsilon) = \text{sgn}(\varepsilon_2 - b_3(\varepsilon_1)) \text{ для всех } \varepsilon \in (0, \delta) \times (-\delta, \delta), \quad (25)$$

при этом  $b_2(\cdot) \in C^1$ . Так как

$$b'_3(\varepsilon_1) = - \frac{d'_{\varepsilon_1}(u, \varepsilon)}{d'_{\varepsilon_2}(u, \varepsilon)} \Big|_{u=u_0(\varepsilon), \varepsilon_2=b_3(\varepsilon_1)}$$

$u_0(\varepsilon) \in (u_L(\varepsilon), u_R(\varepsilon))$ , то из (16), (4), (5), (10) и (20) следует, что и  $b'_3(+0) = 0$ .

Вследствие (15), (21), (24), (25) и (17)–(19) функция  $d(u, \varepsilon)$ ,  $u \in (0, \bar{u}]$ , при  $\varepsilon_1 \in (0, \delta)$ ,  $-\delta < \varepsilon_2 \leq b_2(\varepsilon_1)$  имеет единственный нуль  $u_+(\varepsilon)$ , а  $d'_u(u_+(\varepsilon), \varepsilon) > 0$ ; при  $\varepsilon_1 \in (0, \delta)$ ,  $b_2(\varepsilon_1) < \varepsilon_2 < b_3(\varepsilon_1)$  имеет ровно два нуля  $u_-(\varepsilon) \in (0, u_L(\varepsilon))$ , в котором  $d'_u(u_-(\varepsilon), \varepsilon) < 0$ , и  $u_+(\varepsilon) \in (u_R(\varepsilon), u)$ , в котором  $d'_u(u_+(\varepsilon), \varepsilon) > 0$ ; при  $\varepsilon_1 \in (0, \delta)$ ,  $\varepsilon_2 = b_3(\varepsilon_1)$  имеет единственный (двукратный) нуль; при  $\varepsilon_1 \in (0, \delta)$ ,  $b_3(\varepsilon_1) < \varepsilon_2 < \delta$  не имеет нулей.

Ввиду (11)–(13) получаем, что дугу  $\tau_\varepsilon^-(\hat{y}_-(\varepsilon), \hat{y}_-(\varepsilon) + \bar{u})$ ,  $\varepsilon \in (0, \delta) \times (-\delta, \delta)$ , пересекают следующие замкнутые траектории поля  $X_\varepsilon$ : при  $-\delta < \varepsilon_2 \leq b_2(\varepsilon_1)$  – устойчивая гиперболическая замкнутая траектория, при  $b_2(\varepsilon_1) < \varepsilon_2 < b_3(\varepsilon_1)$  – устойчивая и неустойчивая гиперболические замкнутые траектории, при  $\varepsilon_2 = b_3(\varepsilon_1)$  – двойной цикл.

При достаточно малых  $\underline{u} > \underline{u} > 0$  и  $\delta_+ > 0$  определено отображение

$$\tau_\varepsilon^-(\hat{y}_-(\varepsilon) + u) \mapsto \tau_\varepsilon^+(\psi_+(u, \varepsilon)), \quad u \in [-\underline{u}, 0)$$

по траекториям поля  $-X_\varepsilon$ ,  $\varepsilon \in (-\delta_+, \delta_+)^2$ , для которого имеет место представление (4)–(5), конечно, с другими функциями  $l$  и  $q$ , и функция  $d_+(u, \varepsilon) := \psi_+(u, \varepsilon) - \varphi(\hat{y}_-(\varepsilon) + u, \varepsilon)$ , нули  $u_*$  которой определяют точки  $\tau_\varepsilon^-(\hat{y}_-(\varepsilon) + u_*)$ , через которые проходят замкнутые траектории поля  $X_\varepsilon$ , при этом

$$d_+(u, \varepsilon) < 0 \text{ для всех } u \in [-\underline{u}, -\underline{u}]. \quad (26)$$

Как и выше доказывается, что  $\delta$  можно считать выбранным так, что  $\delta \in (0, \delta_+)$  и существует  $C^1$ -функция  $b_1 : (0, \delta) \rightarrow (-\delta, \delta)$  со следующими свойствами:  $\forall \varepsilon_1 \in (0, \delta)$   $b_1(\varepsilon_1) < b_2(\varepsilon_1)$ , дугу  $\tau_\varepsilon^-(\hat{y}_-(\varepsilon) - \underline{u}, \hat{y}_-(\varepsilon))$ ,  $(I(\tau_\varepsilon^-(\hat{y}_-(\varepsilon) - \underline{u}, \hat{y}_-(\varepsilon))))$   $\varepsilon \in (0, \delta) \times (-\delta, \delta)$ , пересекают следующие замкнутые траектории поля  $X_\varepsilon$ : при  $\varepsilon_2 = b_1(\varepsilon_1)$  – двойной цикл, при  $b_1(\varepsilon_1) < \varepsilon_2 < b_2(\varepsilon_1)$  – устойчивая и неустойчивая гиперболические замкнутые тра-

ектории, при  $b_2(\varepsilon_1) < \varepsilon_2 < \delta$  – устойчивая гиперболическая замкнутая траектория.

Пусть  $u_c \in [-\underline{u}, -\bar{u}]$ ,  $u^c \in [\bar{u}, \bar{u}]$ . Аналогично [12] можно построить кусочно-гладкие замкнутые кривые  $l^0$  и  $l^+$ , трансверсально пересекающие дугу  $\tau_0^-(\hat{y}_-(0) - \underline{u}, \hat{y}_-(0) + \bar{u})$ , соответственно, в точках  $\tau_0^-(\hat{y}_-(0) + u^c)$  и  $\tau_0^-(\hat{y}_-(0) + u_c)$ , причем  $l^0, l^+$  и  $l^- := I(l^+)$  ограничивают окрестность  $U$  полицикла  $\Gamma$  такую, что в  $\bar{U}$  нет особых точек поля  $X_0$ , кроме  $O$ , а в точках  $\partial U = l^0 \cup l^+ \cup l^-$  траектории  $X_0$  трансверсальны гладким дугам  $\partial U$  и входят в  $U$ . Мы можем считать  $\delta$  выбранным столь малым, что при  $\varepsilon \in (-\delta, \delta)^2$  траектории поля  $X_\varepsilon$  также трансверсальны гладким дугам  $\partial U$  и входят в  $U$ , дуга  $\tau_\varepsilon^-(\hat{y}_-(\varepsilon) - \underline{u}, \hat{y}_-(\varepsilon) + \bar{u})$  содержится в  $U$ , а дуга  $\tau_\varepsilon^-(\hat{y}_-(\varepsilon) - \underline{u}, \hat{y}_-(\varepsilon) + \bar{u})$  пересекается с  $l^0$  и  $l^+$ .

Определим теперь множества  $B_j, E_j, j = 1, 2, \dots, 6$ , как в формулировке теоремы.

При  $\varepsilon \in (0, \delta) \times (-\delta, \delta)$  любая замкнутая траектория поля  $X_\varepsilon|_U$  пересекается с дугой  $\tau_\varepsilon^-(\hat{y}_-(\varepsilon) - \underline{u}, \hat{y}_-(\varepsilon) + \bar{u})$ . Ввиду (15) и (26) любая замкнутая траектория поля  $X_\varepsilon$  пересекающаяся с дугой  $\tau_\varepsilon^-(\hat{y}_-(\varepsilon) - \underline{u}, \hat{y}_-(\varepsilon) + \bar{u})$ , пересекается и с  $\tau_\varepsilon^-(\hat{y}_-(\varepsilon) - \underline{u}, \hat{y}_-(\varepsilon) + \bar{u})$ . Из доказанного выше следует, что фазовые портреты векторных полей  $X_\varepsilon|_U$  при  $\varepsilon \in E_6, \varepsilon \in B_1, \varepsilon \in E_1, \varepsilon \in B_2, \varepsilon \in E_2, \varepsilon \in B_3, \varepsilon \in E_3$  имеют вид, описанный в теореме.

Ввиду (1) и (2)  $\delta$  можно считать столь малым, что поле  $X_\varepsilon|_U$  при  $\varepsilon = 0, \varepsilon \in B_4$  и  $\varepsilon \in B_6$  имеет единственную особую точку – седло-узел с координатами  $x = y = 0$ , а при  $\varepsilon \in E_4, \varepsilon \in B_5$  и  $\varepsilon \in E_5$  имеет ровно две особые точки – гиперболические седло и узел, лежащие на дуге  $\{z = \zeta(x, 0, \varepsilon), x \in (-c, c)\}$ . Так как любая траектория поля  $X_\varepsilon|_U$  пересекает дугу  $\tau_\varepsilon^-(-c, c)$ , то при рассматриваемых  $\varepsilon$  все траектории поля  $\omega$ -предельны к особым точкам, и потому замкнутых траекторий у поля нет и фазовые портреты векторных полей  $X_\varepsilon|_U$  имеют вид, описанный в теореме.

### Примечания

1. Takens F. Singularities of vector fields // Publ. Math. IHES. 1974. Vol. 43. P. 47–100.
2. Жолондек Х. О версальности одного семейства симметричных векторных полей на плоскости // Математический сборник. 1983. Т. 120, № 4. С. 473–499.
3. Golubitsky M., Shaeffer D., Stewart I. Singularities and Groups in Bifurcation Theory. Springer-Verlag, 1988. 533 с.
4. Николаев Е. В. Бифуркации предельных циклов дифференциальных уравнений, допускающих инволютивную симметрию // Математический сборник. 1995. Т. 186, № 4. С. 143–160.
5. Шноль Э. Э. Правильные многогранники и бифуркации симметричных положений равновесия обыкновенных дифференциальных уравнений // Математический сборник. 2000. Т. 191, № 8. С. 141–157.
6. Ройтенберг В. Ш. Бифуркации полицикла, образованного двумя петлями сепаратрис негрубого седла динамической системы с центральной симметрией // Вестник Южно-Уральского государственного университета. Сер. : Математика. Механика. Физика. 2021. Т. 13, № 2. С. 39–46. DOI: 10.14529/mmph210305
7. Ройтенберг В. Ш. Бифуркации полицикла, образованного сепаратрисами седла с нулевой седловой величиной динамической системы с центральной симметрией // Математиче-

ские заметки СВФУ. 2023. Т. 30, № 3. С. 67–77. DOI: 10.25587/SVFU.2023.86.26.007

8. Ройтенберг В. Ш. О бифуркациях сепаратрисных контуров динамических систем, инвариантных относительно конечной группы вращений // Вестник Адыгейского государственного университета. Сер. : Естественно-математические и технические науки. 2023. Вып. 2 (321). С. 11–18. DOI: 10.53598/2410-3225-2023-2-321-11-18

9. Ройтенберг В. Ш. О некоторых нелокальных бифуркациях динамических систем с симметрией // Математика и естественные науки. Теория и практика : Межвуз. сб. науч. тр. Вып. 18. Ярославль : Изд-во ЯГТУ. 2023. С. 25–34.

10. Методы качественной теории в нелинейной динамике. Часть 1 / Л. П. Шильников, А. Л. Шильников, Д. В. Тураев, Л. Чуа. Москва ; Ижевск : ИКИ, 2004. 416 с.

11. Методы качественной теории в нелинейной динамике. Часть 2 / Л. П. Шильников, А. Л. Шильников, Д. В. Тураев, Л. Чуа. Москва ; Ижевск : ИКИ, 2009. 548 с.

12. Ройтенберг В. Ш. О бифуркациях контура из сепаратрис седла и седло-узла. Ярославль : Ярославский политехнический институт, 1988. 39 с. Деп. в ВИНТИ, № 2555-B88.

## References

1. Takens F. Singularities of vector fields // Publ. Math. IHES. 1974. Vol. 43. P. 47–100.
2. Zholondek H. On the versality of one family of symmetric vector fields on the plane // Mathematical Collection. 1983. Vol. 120, No. 4. P. 473–499.
3. Golubitsky M., Shaeffer D., Stewart I. Singularities and Groups in Bifurcation Theory. Springer-Verlag, 1988. 533 p.
4. Nikolaev E. V. Bifurcations of limit cycles of differential equations admitting involutive symmetry // Mathematical Collection. 1995. Vol. 186, No. 4. P. 143–160.
5. Shnol E. E. Regular polyhedra and bifurcations of symmetric equilibria of ordinary differential equations // Mathematical Collection. 2000. Vol. 191, No. 8. P. 141–157.
6. Roytenberg V. Sh. Bifurcations of a polycycle formed by two separatrix loops of a non-rough saddle of a dynamical system with central symmetry // Bulletin of the South Ural State University. Ser. : Mathematics. Mechanics. Physics. 2021. Vol. 13, No. 3. P. 39–46. DOI: 10.14529/mmp210305
7. Roytenberg V. Sh. Bifurcations of a polycycle formed by separatrices of a saddle with zero saddle value of a dynamical system with central symmetry // Mathematical Notes of NEFU. 2023. Vol. 30, No. 3. P. 67–77. DOI: 10.25587/SVFU.2023.86.26.007
8. Roytenberg V. Sh. On bifurcations of separatrix contours of dynamical systems invariant under a finite group of rotations // The Bulletin of the Adyge State University. Ser. : Natural-Mathematical and Technical Sciences. 2023. Iss. 2 (321). P. 11–18. DOI: 10.53598/2410-3225-2023-2-321-11-18
9. Roytenberg V. Sh. On some nonlocal bifurcations of dynamical systems with symmetry // Mathematics and Natural Sciences. Theory and Practice : coll. of scientific works. Yaroslavl : YaSTU Publishing House, 2023. Iss. 18. P. 25–34.
10. Methods of qualitative theory in nonlinear dynamics. Part 1 // L. P. Shilnikov, A. L. Shilnikov, D. V. Turaev, L. Chua. Moscow ; Izhevsk : IKI, 2004. 416 p.
11. Methods of qualitative theory in nonlinear dynamics. Part 2 // L. P. Shilnikov, A. L. Shilnikov, D. V. Turaev, L. Chua. Moscow ; Izhevsk : IKI, 2009. 548 p.
12. On bifurcations of a contour formed by separatrices of a saddle and saddle-node. Yaroslavl : Yaroslavl Polytechnic Institute, 1988. 39 p. Dep. in VINITI. No. 2555-B88.

*Статья поступила в редакцию 14.01.2024; одобрена после рецензирования 29.01.2024; принята к публикации 30.01.2024.*

*The article was submitted 14.01.2024; approved after reviewing 29.01.2024; accepted for publication 30.01.2024.*

© В. Ш. Ройтенберг, 2024